




Computer-Graphik II

Advanced Shader Programming

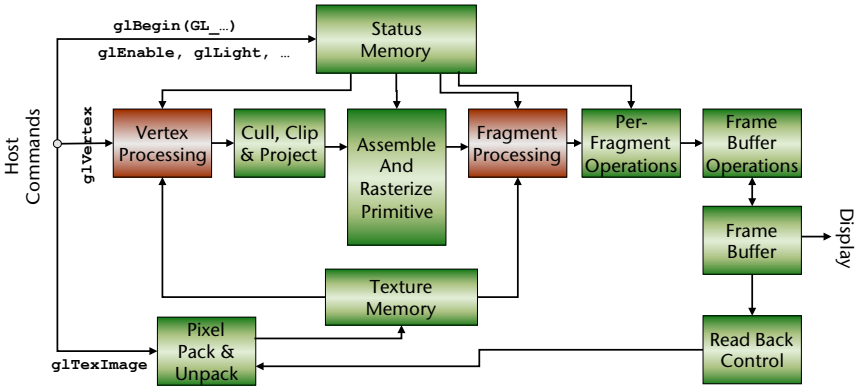


G. Zachmann
Clausthal University, Germany
cg.in.tu-clausthal.de



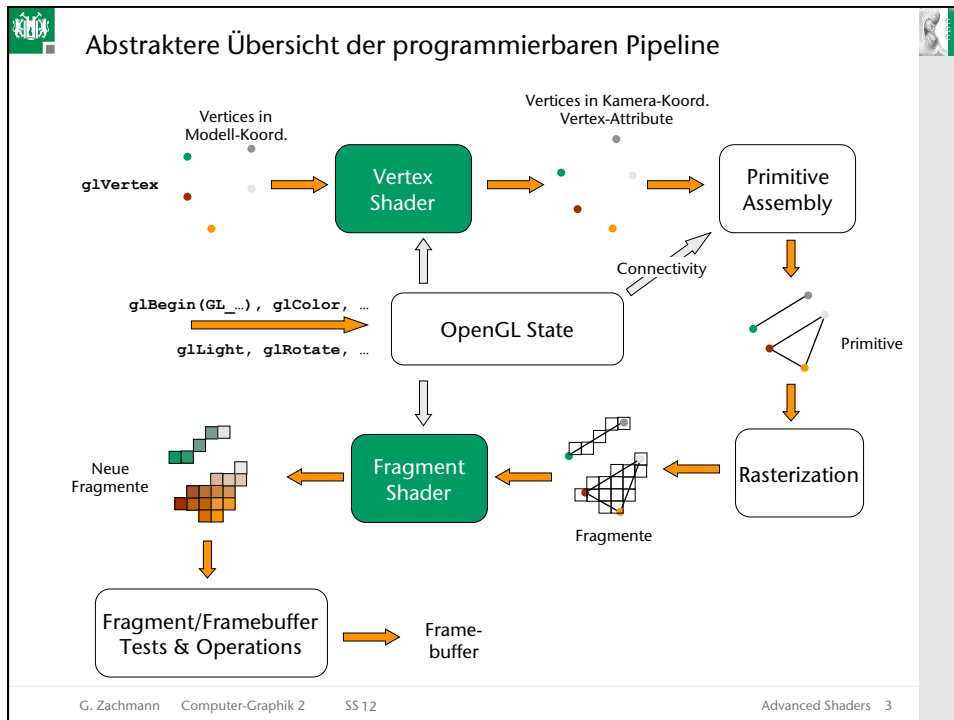

Erinnerung

- Programmierbare *vertex und fragment processors*
 - Legen offen, was sowieso schon immer da war
- Texturspeicher = allgemeiner Speicher für beliebige Daten



The diagram illustrates the graphics pipeline. Host Commands (glBegin, glEnable, glLight, etc.) feed into Status Memory and Vertex Processing. Vertex Processing feeds into Cull, Clip & Project, which then feeds into Assemble And Rasterize Primitive. Assemble And Rasterize Primitive feeds into Fragment Processing. Fragment Processing feeds into Per-Fragment Operations, which feeds into Frame Buffer Operations. Frame Buffer Operations feeds into Frame Buffer, which feeds into Display. Texture Memory feeds into Assemble And Rasterize Primitive and Fragment Processing. Pixel Pack & Unpack feeds into Texture Memory. Read Back Control feeds into Pixel Pack & Unpack. Host Commands also feed into glTexImage, which feeds into Pixel Pack & Unpack.

G. Zachmann Computer-Graphik 2 SS 12 Advanced Shaders 2



Zugriff auf Texturen im Shader

- Deklareiere Textur im Shader (Vertex oder Fragment):


```
uniform sampler2D myTex;
```
- Lade und binde Textur im C-Programm wie gehabt:


```
glBindTexture( GL_TEXTURE_2D, myTexture );
glTexImage2D(...);
```
- Verbinde beide:


```
uint mytex = glGetUniformLocation( prog, "myTex" );
glUniform1i( mytex, 0 ); // 0 = texture unit, not ID
```
- Zugriff im Fragment-Shader:


```
vec4 c = texture2D( myTex, gl_TexCoord[0].xy );
```

G. Zachmann Computer-Graphik 2 SS 12 Advanced Shaders 4

Beispiel: eine einfache "Gloss-Textur"



`vorlesung_demos/gloss.{frag,vert}`

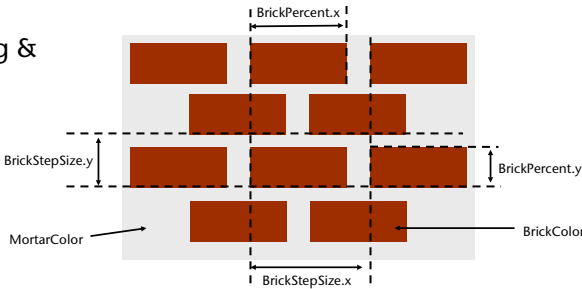
G. Zachmann Computer-Graphik 2 SS 12 Advanced Shaders 5

Eine einfache prozedurale Textur

- Ziel:
Ziegelstein-Textur

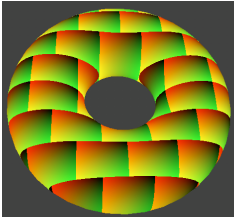
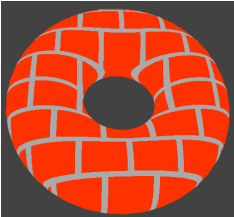
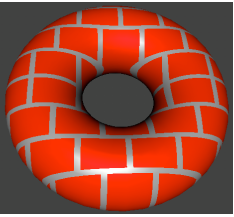


- Vereinfachung & Parameter:



G. Zachmann Computer-Graphik 2 SS 12 Advanced Shaders 6

- Generelle Funktionweise:
 - Vertex-Shader: normale Beleuchtungsrechnung
 - Fragment-Shader:
 - bestimme pro Fragment anhand der xy-Koordinaten des zugehörigen Punktes im Objektraum, ob der Punkt im Ziegel oder im Mörtel liegt
 - danach, entsprechende Farbe mit Beleuchtung multiplizieren
- Beispiele:

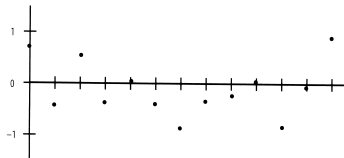
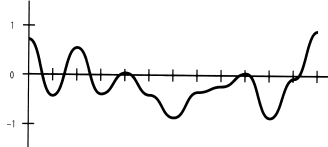
G. Zachmann Computer-Graphik 2 SS 12
Advanced Shaders 7

Rauschen

- Die meisten prozeduralen Texturen sehen zu "clean" aus
- Idee: addiere Rauschen (Schmutz), für realistischeres Aussehen
- Gewünschte Eigenschaften einer Rausch-Funktion:
 - Stetig
 - Es reicht, wenn sie (nur) zufällig aussieht
 - Keine offensichtlichen Muster / Wiederholungen
 - Wiederholbar (gleiche Ausgabe bei gleichem Input)
 - Wertebereich $[-1,1]$
 - Kann für 1–4 Dimensionen definiert werden
 - Isotrop (invariant unter Rotation)

G. Zachmann Computer-Graphik 2 SS 12
Advanced Shaders 8

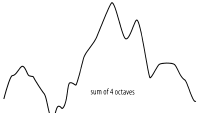
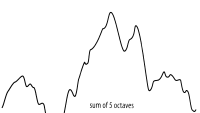
■ Einfache Idee, am 1-dimensionalen Beispiel:

1. Wähle zufällige y-Werte aus $[-1,1]$ an den Integer-Stellen:
 
2. Interpoliere dazwischen, z.B. kubisch (linear reicht nicht):
 

■ Diese Art Rauschfunktion heißt *"value noise"*

G. Zachmann Computer-Graphik 2 SS 12 Advanced Shaders 9

3. Generiere mehrere Rauschfunktionen mit verschiedenen Frequenzen

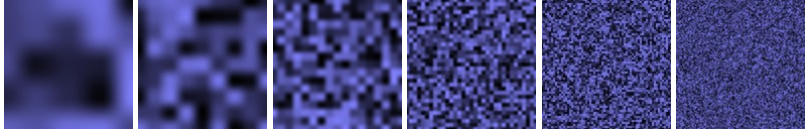
frequency = 4 amplitude = 1.0		sum of 3 octaves	
frequency = 8 amplitude = 0.5		sum of 4 octaves	
frequency = 16 amplitude = 0.25		sum of 5 octaves	
frequency = 32 amplitude = 0.125		sum of 6 octaves	
frequency = 64 amplitude = 0.0625		sum of 7 octaves	

4. Addiere alle diese zusammen

- Ergibt Rauschen auf verschiedenen "Skalen"

G. Zachmann Computer-Graphik 2 SS 12 Advanced Shaders 10

▪ Dasselbe in 2D:



Ergebnis



▪ Läßt sich leicht verallgemeinern in höhere Dimensionen

▪ Heißt auch *Perlin noise*, *pink noise*, oder *fractal noise*

- Ken Perlin; hat sich zuerst damit beschäftigt bei der Arbeit an TRON




G. Zachmann Computer-Graphik 2 SS 12 Advanced Shaders 11

▪ *Gradient noise*:

- Spezifiziert die **Gradienten** an den Integer-Stellen (statt den Werten):

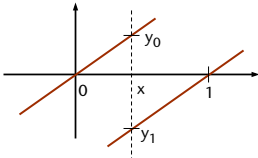
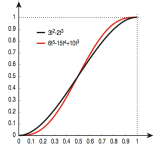


▪ Interpolation:

- Berechne y_0 und y_1 als Wert der Geraden durch 0 und 1 mit den vorgegebenen (zufälligen) Gradienten
- Interpoliere y_0 und y_1 mit einer Blending-Funktion, z.B.

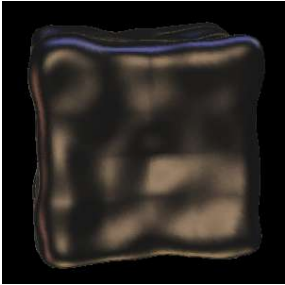
oder

$$h(t) = 3t^2 - 2t^3$$

$$q(t) = 6t^5 - 15t^4 + 10t^3$$



G. Zachmann Computer-Graphik 2 SS 12 Advanced Shaders 12

- Vorteil der quintischen Blending-Funktion: 2-te Ableitung bei $t=0$ und $t=1$ ist 0 \rightarrow die gesamte Noise-Funktion ist C^2 -stetig
 - Beispiel, wo man das sieht:



kubische Interpolation



quintische Interpolation

Ken Perlin

G. Zachmann Computer-Graphik 2 SS 12 Advanced Shaders 13

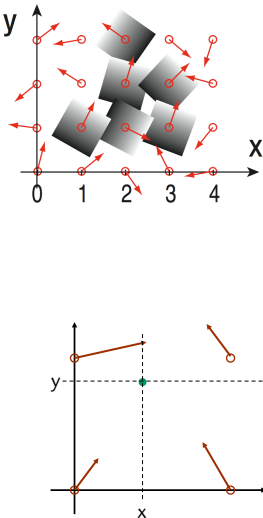
- Gradient noise im 2D:
 - Gebe an Integer-Gitterpunkten Gradienten vor (2D Vektoren, **nicht** notw.weise mit Länge 1)
 - Interpolation (wie im 1D):
 - O.B.d.A. $P = (x, y)$ in $[0, 1] \times [0, 1]$
 - Seien die Gradienten
 - g_{00} = Gradient an $(0, 0)$, g_{01} = Gradient an $(0, 1)$,
 - g_{10} = Gradient an $(1, 0)$, g_{11} = Gradient an $(1, 1)$
 - Berechne den Wert der "Gradienten-Rampen" am Punkt P:

$$z_{00} = g_{00} \cdot \begin{pmatrix} x \\ y \end{pmatrix}$$

$$z_{01} = g_{01} \cdot \begin{pmatrix} x \\ y - 1 \end{pmatrix}$$

$$z_{10} = g_{10} \cdot \begin{pmatrix} x - 1 \\ y \end{pmatrix}$$

$$z_{11} = g_{11} \cdot \begin{pmatrix} x - 1 \\ y - 1 \end{pmatrix}$$



G. Zachmann Computer-Graphik 2 SS 12 Advanced Shaders 14

- Blending der 4 "z"-Werte durch bilineare Interpolation:

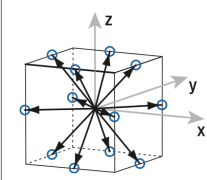
$$z_{x0} = (1 - q(x))z_{00} + q(x)z_{10}, \quad z_{x1} = (1 - q(x))z_{01} + q(x)z_{11}$$

$$z_{xy} = (1 - q(y))z_{x0} + q(y)z_{x1}$$

- Analog im 3D:
 - Spezifiziere Gradienten auf einem 3D-Gitter
 - Werte $2^3=8$ "Gradienten-Rampen" aus
 - Interpoliere diese mit trilinearere Interpolation und der Blending-Fkt
 - Und im d -dim. Raum? → Aufwand ist $O(2^d)$!

G. Zachmann Computer-Graphik 2 SS 12 Advanced Shaders 15

- Ziel: **wiederholbare** Rauschfunktion
 - D.h., $f(x)$ liefert bei **gleichem** x immer **denselben** Wert
- Wähle feste Gradienten an den Gitterpunkten
- Beobachtung: es genügen einige wenige verschiedene
 - Z.B. für 3D genügen Gradienten aus dieser Menge:



$g_0 = (0, 1, 1), g_1 = (0, 1, -1),$
 $g_2 = (0, -1, 1), g_3 = (0, -1, -1),$
 $g_4 = (1, 0, 1), g_5 = (1, 0, -1),$
 $g_6 = (-1, 0, 1), g_7 = (-1, 0, -1),$
 $g_8 = (1, 1, 0), g_9 = (1, -1, 0),$
 $g_{10} = (-1, 1, 0), g_{11} = (-1, -1, 0)$

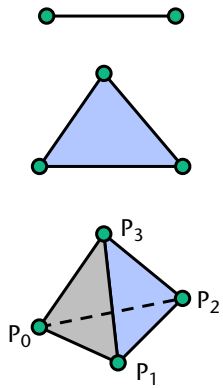
- Integer-Koordinaten der Gitterpunkte werden einfach gehasht → Index in eine Tabelle vordefinierter Gradienten

G. Zachmann Computer-Graphik 2 SS 12 Advanced Shaders 16

- **d-dimensionaler Simplex** :=
 - Verbindung von $d + 1$ affin unabhängigen Punkten
- Beispiele:
 - 1D: Linie , 2D: Dreieck , 3D: Tetraeder
- Allgemein:
 - Punkte P_0, \dots, P_d
 - Simplex = alle Punkte X mit

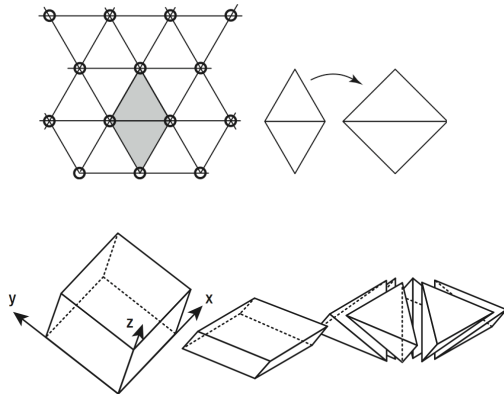
$$X = P_0 + \sum_{i=1}^d s_i \mathbf{u}_i$$

mit

$$\mathbf{u}_i = P_i - P_0, s_i \geq 0, \sum_{i=0}^d s_i \leq 1$$


G. Zachmann Computer-Graphik 2 SS 12 Advanced Shaders 17

- Mit **gleichseitigen(!)** d -dimensionalen Simplices kann man den d -dim. Raum partitionieren (tessellieren):

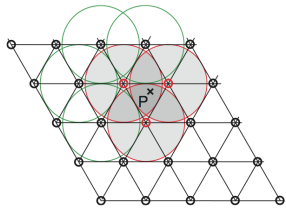


G. Zachmann Computer-Graphik 2 SS 12 Advanced Shaders 18

- Generell gilt:
 - Ein d -dimensionaler Simplex hat $d+1$ Ecken
 - Mit gleichseitigen d -dimensionaler Simplices kann man einen Würfel partitionieren, der entlang seiner Diagonalen geeignet "gestaucht" wurde
 - Solch ein d -dim. gestauchter Würfel enthält $d!$ viele Simplices

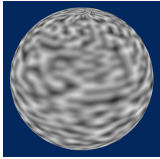
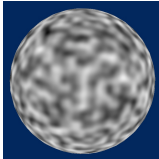
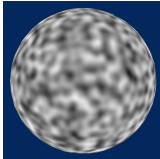
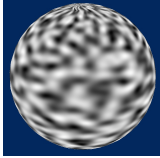
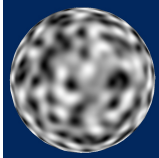
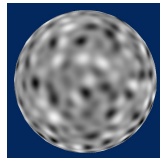
G. Zachmann Computer-Graphik 2 SS 12 Advanced Shaders 19

- Konstruktion der Noise-Funktion über einer Simplex-Partitionierung (daher "*simplex noise*"):
 - Bestimme den Simplex, in dem ein Punkt P liegt
 - Bestimme alle dessen Ecken und die Gradienten in den Ecken
 - Bestimme (wie vorher) den Wert dieser "Gradienten-Rampen" in P
 - Bilde eine gewichtete Summe dieser Werte
 - Wähle dabei Gewichtungsfunktionen so, daß der "Einfluß" eines Simplex-Gitter-Punktes sich gerade nur auf die inzidenten Simplices erstreckt



G. Zachmann Computer-Graphik 2 SS 12 Advanced Shaders 20

- Ein großer Vorteil: nur noch Aufwand $O(d)$
- Zu den Details siehe "Simplex noise demystified" (auf der Homepage der Vorlesung)
- Vergleich zwischen klassischem Perlin-Noise und Simplex-Noise:

klassisch			
simplex			
	2D	3D	4D

G. Zachmann Computer-Graphik 2 SS 12 Advanced Shaders 21

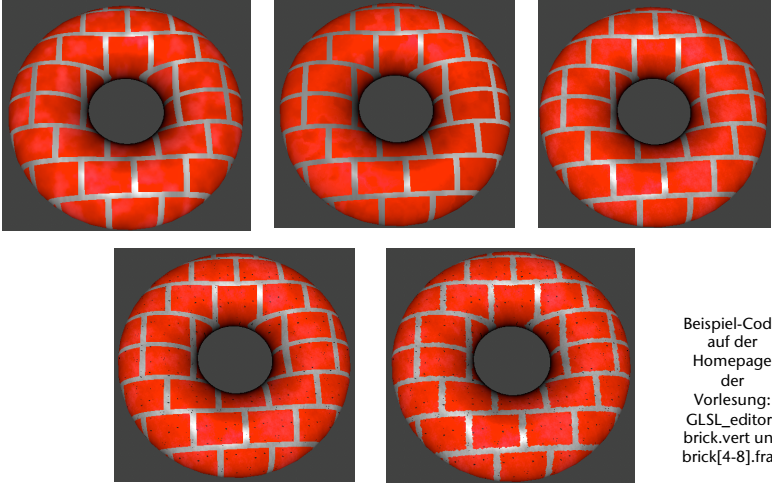
- Im GLSL-Standard werden 4 noise-Funktionen definiert:
`float noise1(gentype), vec2 noise2(gentype),
vec3 noise3(gentype), vec4 noise4(gentype).`
- Aufruf einer Noise-Funktion:

$$v = \text{noise2}(f*x + t, f*y + t)$$
 - Mit f kann man die räumliche Frequenz steuern, mit t kann man eine Animation erzeugen (t = "Zeit").
 - Analog für 1D- und 3D-Noise
- Achtung: Wertebereich ist $[-1,+1]$!
- Nachteile:
 - Sind nicht überall implementiert
 - Sind laaangsam ...

G. Zachmann Computer-Graphik 2 SS 12 Advanced Shaders 22

Beispiel

- Unsere prozedurale Ziegelstein-Textur:

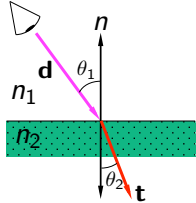
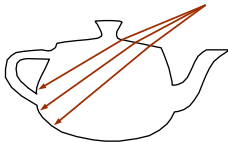


Beispiel-Code auf der Homepage der Vorlesung: `GLSL_editor/brick.vert` und `brick[4-8].frag`

G. Zachmann Computer-Graphik 2 SS 12 Advanced Shaders 23

Lichtbrechung

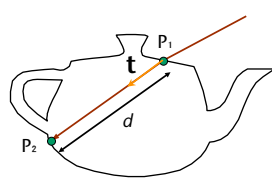
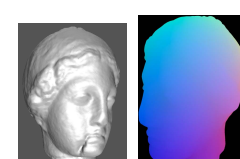
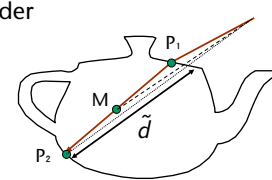
- Mit Shadern kann man Approximationen von einfachen "globalen" Effekten versuchen
- Beispiel: Lichtbrechung
- Was benötigt man, um den gebrochenen Strahl (*refracted ray*) zu berechnen?
 - Snell's Gesetz: $n_1 \sin \theta_1 = n_2 \sin \theta_2$
 - Benötigt werden: \mathbf{n} , \mathbf{d} , n_1 , n_2
 - Ist alles im Fragment-Shader vorhanden
 - Man kann also \mathbf{t} pro Pixel berechnen
- Warum also ist Brechung so schwer?
 - Um den korrekten Schnittpunkt des gebrochenen Strahls zu berechnen, benötigt man die gesamte Geometrie!

G. Zachmann Computer-Graphik 2 SS 12 Advanced Shaders 24

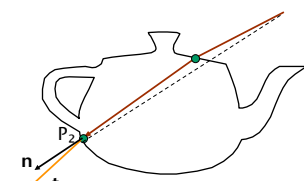
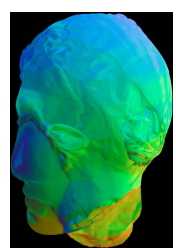
- Ziel: transparente Objekte mit 2 Schnittflächen approximieren
- Schritt 1: bestimme den nächsten Schnittpunkt

$$P_2 = P_1 + dt$$
 - Idee: approximiere d
 - Rendere dazu 1x in einem Pass vorab eine Depth-Map der backfacing Polygone vom Viewpoint aus
 - Suche mit Binärsuche (ca. 5 Iter.) darin nach der "richtigen" Tiefe:
 - Bestimme Midpoint
 - Projiziere Midpoint bzgl. Viewpoint nach 2D
 - Indiziere damit die Depth-Map

G. Zachmann Computer-Graphik 2 SS 12 Advanced Shaders 25

- Schritt 2: bestimme die Normale in P_2
 - Rendere dazu vorab eine Normal-Map aller backfacing Polygone vom Viewpoint aus
 - Projiziere P_2 bzgl. Viewpoint nach 2D
 - Indiziere damit die Normal-Map
- Schritt 3:
 - Bestimme t_2
 - Indiziere damit eine Environment-Map

Normal-Map

G. Zachmann Computer-Graphik 2 SS 12 Advanced Shaders 26

- Viele offene Herausforderungen:
 - Bei *depth complexity* > 2:
 - Welche Normale / welcher Tiefenwert soll behalten werden?
 - Approximation der Distanz
 - Aliasing

G. Zachmann Computer-Graphik 2 SS 12 Advanced Shaders 27

Beispiele



Our Method *Ray Traced*



1 bounce
Mit innerer Reflexion

G. Zachmann Computer-Graphik 2 SS 12 Advanced Shaders 28